

ผลของมวลสารและลีขของผนังต่อพัฒนาระบบการถ่ายเทความร้อนเข้าสู่อาคาร



นางสาว สินีรัตน์ ภัทรธรรมกุล

วิทยานิพนธ์นี้เป็นส่วนหนึ่งของการศึกษาตามหลักสูตรปริญญาโทสาขาวิชารัฐศาสตร์มหาบัณฑิต

ภาควิชาสถาปัตยกรรมศาสตร์

บัณฑิตวิทยาลัย จุฬาลงกรณ์มหาวิทยาลัย

พ.ศ. 2537

ISBN 974 - 584 - 713 - 5

ลิขสิทธิ์ของบัณฑิตวิทยาลัย จพalgoกรรณมหาวิทยาลัย

工11259216

AN EFFECT OF MASS AND COLOR ON HEAT TRANSMISSION THROUGH
BUILDING WALL

Miss Sinirat Patradhamkul

A Thesis Submitted in Partial Fulfillment of the Requirements

for the Degree of Master of Architecture

Department of Architecture

Graduate School

Chulalongkorn University

1994

ISBN - 974 - 584 - 713 - 5

หัวข้อวิทยานิพนธ์ ผลของมวลสารและสีของผังต่อพฤติกรรมการถ่ายเทความร้อนเข้าสู่อาคาร
โดย นางสาว สินีรัตน์ ภัทรธรรมกุล
ภาควิชา สถาปัตยกรรมศาสตร์
อาจารย์ที่ปรึกษา อ. ชนิต จินดาภรณ์
อาจารย์ที่ปรึกษาร่วม รองศาสตราจารย์ สมลิกิท์ นิตยะ



บันทึกวิทยาลัย จุฬาลงกรณ์มหาวิทยาลัย อนุมัติให้นับวิทยานิพนธ์ดังนี้เป็นส่วนหนึ่งของ
การศึกษาตามหลักสูตรปริญญามหาบัณฑิต

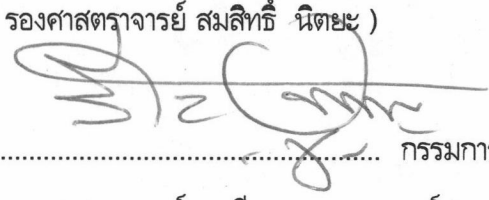
 คณบดีบันทึกวิทยาลัย
(ศาสตราจารย์ ดร.สาวร วัชราภัย)

คณะกรรมการสอบวิทยานิพนธ์

 ประธานกรรมการ
(รองศาสตราจารย์ ดร.วีระ สจกุล)

 อาจารย์ที่ปรึกษา
(อาจารย์ชนิต จินดาภรณ์)

 อาจารย์ที่ปรึกษาร่วม
(รองศาสตราจารย์ สมลิกิท์ นิตยะ)

 กรรมการ
(รองศาสตราจารย์ ดร.วีระ บูรณากัญจน์)



พิมพ์ต้นฉบับบทด้วยอวิภานนิพนธ์ภายในกรอบสีเขียวเพื่อแสดงเดียว

เลนรัตน์ ภัทรธรรมกุล : ผลงานมวลสารและสีของผนัง ต่อพัฒนาร่วมการถ่ายเทความร้อนเข้าสู่อาคาร (AN

EFFECT OF MASS AND COLOR ON HEAT TRANSMISSION THROUGH BUILDING WALL)

อ.ที่ปรึกษา : รศ.สมลักษณ์ นิตยะ, อ.นนิต จินดาภรณ์, 80 หน้า . ISBN 974-584-713-5

การวิจัยนี้มีจุดมุ่งหมายที่จะศึกษาขนาดมวลสารและปะเกาที่มีผลต่อปริมาณการถ่ายเทความร้อนของผนัง เพื่อเป็นข้อมูลที่จะนำมายกระดับคุณภาพในการออกแบบอาคาร ผนังที่เลือกใช้ในการทดลองเปรียบเทียบมี 2 ประเภท ผนังที่มีมวลสารมาก คือ ผนังก่ออิฐถูกน้ำขนาดความหนา 4 นิ้ว และ 8 นิ้ว ซึ่งใช้ในการก่อสร้างทั่วๆไป ส่วนผนังที่จัดว่ามีมวลสารน้อยเป็นผนังโพลีสไตรีโนฟที่มีค่าสัมประสิทธิ์การถ่ายเทความร้อนเท่ากับผนังก่ออิฐถูกน้ำ 4 นิ้ว และ 8 นิ้วตามลำดับ ในเรื่องของสีผนัง ได้ทำการศึกษาเปรียบเทียบกับสีขาวที่มีค่าการดูดซึ�ความร้อนต่ำและสีดำที่มีค่าการดูดซึஸความร้อนสูง

ขนาดการวิจัยคือการจำลองสภาพอาคารด้วยกล่องทดลองสี่เหลี่ยมจูกบาก์ จำนวน 8 กล่อง โดยแต่ละกล่องได้จัดทำโครงสร้างที่เหมือนกัน ด้วยผนังที่มีค่าการกันความร้อนสูง คือ โพลีสไตรีโนฟที่มีความหนาถึง 4 นิ้ว ห้อง 5 ด้าน ส่วนด้านที่ 6 เป็นผนังที่ใช้ก่อลงในแต่ละชุดของการวิจัยเปรียบเทียบผนังที่มีมวลสารสูงและต่ำ ได้ถูกปูนสภาพผนังทดลองในห้องปฏิบัติการจนมีค่าสัมประสิทธิ์การถ่ายเทความร้อนเท่ากันในแต่ละชุด ก่อนที่จะนำไปทำการศึกษาในสภาพภูมิอากาศจริง ภายนอกห้องทดลอง

ผลของการวิจัยพบว่า ผนังที่มีค่าสัมประสิทธิ์การถ่ายเทความร้อนเท่ากันนั้น จะมีค่าเฉลี่ยของอุณหภูมิภายในไอล์เดียงกันคือความแตกต่างไม่มีนัยสำคัญ ทั้งกล่องทดลองที่มีมวลสารและสีที่ต่างกัน อย่างไรก็ตามลักษณะการถ่ายเทความร้อนของผนังที่มีมวลสารสูงและมวลสารต่ำ ตลอดเวลา 24 ชม. ของวัน มีความแตกต่างกันมาก โดยผนังที่มีมวลสารมากจะมีค่าความแตกต่างของอุณหภูมิภายในไอล์เดียงกันกว่าผนังที่มีมวลสารน้อยมาก โดยที่ค่าความแตกต่างนี้จะมีค่าเพิ่มขึ้นมากในผนังที่มีค่าการดูดความร้อนสูงเข่นสีดำโดยเฉพาะอย่างยิ่งพบว่า ผนังที่มีค่าสัมประสิทธิ์การถ่ายเทความร้อนเท่ากันนั้นในสภาพการใช้งานจริงจะได้ค่าปริมาณความร้อนที่เข้าสู่อาคารสูงสุดและต่ำสุดแตกต่างกันมากทั้งทางด้านปริมาณและเวลา ที่ความร้อนสูงสุดและต่ำสุดเข้าสู่อาคาร

ผลของการวิจัยนี้จะเป็นข้อมูลที่เป็นประโยชน์สำหรับงานออกแบบ กล่าวคือช่วยให้สามารถคำนวณสารที่เหมาะสมกับลักษณะของการใช้งานเพื่อลดความร้อนที่จะเข้ามาสู่อาคารในช่วงร้อนสุดของวัน

สถานปัตยกรรมศาสตร์
ภาควิชา
สาขาวิชา
ปีการศึกษา 2536

ลายมือชื่อนิสิต
ลายมือชื่ออาจารย์ที่ปรึกษา
ลายมือชื่ออาจารย์ที่ปรึกษาร่วม

C 535083

: MAJOR ARCHITECTURE

KEY WORD:

: TIME LAG / THERMAL HEAT CAPACITY / OVERALL HEAT TRANSFER PROFILE

SINIRAT PATRADHAMKUL : AN EFFECT OF MASS AND COLOR ON HEAT TRANSMISSION
THROUGH BUILDING WALL. THESIS ADVISOR : ASSO. PROF SOMSIT NITAYA, LECTURER
TANIT CHINDAVANIG 80 pp. ISBN 974 - 584 - 713 - 5

The objective of this research is to investigate the impact of thermal mass and color on heat transfer through a wall. It is expected that the obtained information can be utilized in a passive building design, especially when it is furnished with no air conditioning system.

The material of high thermal mass selected for this study was a typical bricks and mortar wall of 4 and 8 inch thick. The low thermal mass material used was a polystyrene foam which had the same heat transmission coefficient of the above 4 and 8 inches brick wall respectively. All of these walls were studied in both black and white surface colors in order to compare the effect of different surface absorption. In the research process, 8 test cells of 2 feet cube were built to simulate the effect of heat transmission in to the test cells. Five sides of each test cell was constructed with a 4 inch-thick polystyrene foam, leaving one side open for an installation of the material studied. The test cell were then calibrated under the steady state condition before the actual simulation process on outside weather condition.

Through the simulation process, it is found that the average inside temperature of the test cell with high and the cell with low thermal mass had no significance difference. These are also true for both the black and the white surfaces. The temperature profiles over a 24 hour cycle, however, were totally different. The cell with high thermal mass exhibited a much lower temperature swing while shifting the peak temperature toward the end of the day or evening.

This finding is very valuable to use as a guide line for selecting an appropriate material to reduce the peak load for a building. This research reveals that the material with the same heat transmission coefficient ("U" value) but different in thermal mass and surface color can result in a major differences in both the amplitude of the peak load and the time when the peak occurs.

ภาควิชา..... สถาปัตยกรรมศาสตร์
สาขาวิชา..... สถาปัตยกรรมศาสตร์
ปีการศึกษา..... 2536

ลายมือชื่อนิสิต..... พญานันท์ คง
ลายมือชื่ออาจารย์ที่ปรึกษา..... ดร. สุรัตน์ คง
ลายมือชื่ออาจารย์ที่ปรึกษาร่วม.....



กิตติกรรมประกาศ

วิทยานิพนธ์ฉบับนี้ได้สำเร็จลุล่วงไปได้ด้วยความช่วยเหลืออย่างดียิ่งของ อ.ชนิต จินดาภรณ์
และรองศาสตราจารย์สมลิกท์ นิตยะ อาจารย์ที่ปรึกษาวิทยานิพนธ์ ซึ่งท่านได้ให้คำปรึกษาและข้อแนะนำ
อันเป็นประโยชน์ ตลอดจนเอ้าใจใส่ในการทำวิทยานิพนธ์มาตั้งแต่ต้นจนงานนี้สำเร็จ นอกจากนี้ยังได้ความ
กรุณาเป็นอย่างสูงจาก รองศาสตราจารย์ ดร.วีระ สัจกุล และ รองศาสตราจารย์ ดร. วีระ บูรณากาญจน์
ซึ่งเป็นกรรมการตรวจวิทยานิพนธ์ และเนื่องจากทุนการวิจัยครั้งนี้บางส่วนได้รับมาจากทุนอุดหนุนการวิจัย
ของบ้านทิศวิทยาลัย จึงขอขอบพระคุณบ้านทิศวิทยาลัยมา ณ. ที่นี้ด้วย

สารบัญ



หน้า

บทคัดย่อภาษาไทย	๑
บทคัดย่อภาษาอังกฤษ	๑
กิติกรรมประกาศ	๗
สารบัญตารางประกอบ	๘
สารบัญรูปประกอบ	๙
สารบัญแผนภูมิประกอบ	๙
บทที่ 1 บทนำ	๑
- ความเป็นมาของปัญหา	๑
- ขอบเขตและวัตถุประสงค์ของการวิจัย	๒
- สมมุตฐานของการวิจัย	๒
- ระเบียบวิธีวิจัย	๓
- ประโยชน์ที่คาดว่าจะได้รับจากการวิจัย	๖
บทที่ 2 การสำรวจแนวความคิดและงานวิจัยที่เกี่ยวข้อง	๗
- อิทธิพลของมวลสารต่อการถ่ายเทความร้อน	๗
- สมการที่ใช้ในการคำนวนปริมาณความร้อนเข้า-ออกจากอาคาร	๘
- อิทธิพลจากแสงแดดและการจำลองสภาพในห้องทดลอง	๙
- อิทธิพลจากจำนวนและมวลสาร	๑๐
บทที่ 3 ลักษณะทางกายภาพของตัวอย่างและเครื่องมือที่เลือกใช้ในการวิจัย	๑๓
- ตัวอย่างผนังที่ใช้ในการทดสอบ	๑๓
- สีที่ใช้ในการทดสอบ	๒๐
- กล่องทดลอง	๒๑
- เครื่องมือเก็บข้อมูล	๒๓

สารบัญ (ต่อ)

	หน้า
บทที่ 4 อิทธิพลของลีและมวลสารที่มีผลต่อปริมาณความร้อนที่ผ่านเข้าผนัง	25
- ขั้นตอนและหลักเกณฑ์ในการทดสอบสมมุติฐาน	25
- การทดสอบคุณสมบัติของกล่องทดสอบ	30
- การทดสอบผนังที่มีค่าสัมประสิทธิการกันความร้อน "U"	32
เท่ากันแต่มวลสารและความเข้มของลีต่างกัน และการวิเคราะห์ผล	
จากการทดสอบ	
- การทดสอบผลของลีเข้มและลีอ่อน ต่อผนังชนิดเดียวกันแต่มีค่า	60
ความต้านทาน (R) เพิ่มมากขึ้น และการวิเคราะห์จากการทดสอบ	
บทที่ 5 บทสรุปและข้อเสนอแนะ	71
เอกสารอ้างอิง	80
ภาคผนวก ก. ตัวอย่างใบบันทึกข้อมูลที่ใช้ในการทดลอง	
ภาคผนวก ข. บันทึกข้อมูลในการทดลอง	
ประวัติผู้เขียน	

สารบัญตารางประกอบ

	หน้า
ตารางที่ 1 แสดงค่าเฉพาะของผนังก่ออิฐ混ปูนและผนังโพม	18
ตารางที่ 2 Typical Thermal Properties of Common Building	19
and Insulating Materials - Design Values	
ตารางที่ 3 คุณสมบัติการดูดรังสีความร้อนของพื้นผิวสุดบนงชนิด	20
ตารางที่ 4 ข้อมูลที่เก็บจากการทดสอบคุณสมบัติของกล่องห้องทั้ง 8	
ตารางที่ 5 ค่าหน่วงเหนี่ยเวลาของผนัง 2 ชนิดที่มีค่า "B" เท่ากัน	76

สารบัญประกอบ

หน้า

รูปที่ 1	ภาพแสดงตารางสำหรับหาค่า M Factor	11
รูปที่ 2	แสดงการคำนวณค่าความต้านทานรวมของผนังก่ออิฐมวลปูน 4" และ 8"	15
รูปที่ 3	แสดงการคำนวณค่าความต้านทานรวมของผนังโฟม	17
รูปที่ 4	ภาพแสดงลักษณะของกล่องทดสอบ	22
รูปที่ 5	ภาพของหัววางกล่องทดสอบในสถานที่ทดสอบ	22
รูปที่ 6	ภาพของเครื่องเก็บข้อมูล Cambell Scientific Data Logger	23
	พร้อมสายวัดอุณหภูมิ Thermo Couple Type "J"	
รูปที่ 7	ภาพของเครื่องวัดคลื่นสั่นรังสีเดวงศ์อาทิตย์ Pyronometer	24
รูปที่ 8	แสดงการให้ความร้อนภายในกล่องทดสอบห้อง 8 กล่อง	30
รูปที่ 9	แสดงการทดสอบคุณสมบัติของกล่องห้อง 8	31
รูปที่ 10	แสดงการทดสอบผนัง 2 ชนิดที่มีค่า "B" เท่ากันในห้องปรับอากาศ คงที่ตลอดเวลา	32
รูปที่ 11	ภาพการทดลองผนัง 2 ชนิดที่มีค่า "B" เท่ากัน หันหน้าด้านทดสอบ ทางทิศใต้	35
รูปที่ 12	ภาพสภาพแวดล้อมสถานที่ทดลอง	36
รูปที่ 13	ภาพการทดลองผนัง 2 ชนิดที่มีค่า "B" เท่ากัน หันหน้าด้านทดสอบ ทางทิศเหนือ	36
รูปที่ 14	แสดงการทดสอบคุณสมบัติของโฟมแต่ละชิ้น	60
รูปที่ 15	ภาพแสดงการทดลองผนังโฟมเพิ่มความหนา (ค่า "B" น้อยลง) ในสถานที่ทดสอบ	61

สารบัญแผนภูมิประกอบ

หน้า		
แผนภูมิที่ 1	แสดงขั้นตอนของการทดลองวิจัย	27
แผนภูมิที่ 2	แสดง Cycle Down ของการทดสอบคุณสมบัติผังทดลอง	33
แผนภูมิที่ 3	แสดง Cycle Up ของการทดสอบคุณสมบัติผังทดลอง	33
แผนภูมิที่ 4	แสดงการทดสอบสีภายนอกของผังทดลองต่อพฤติกรรมการถ่ายเท ความร้อนผ่านผนัง ภายใต้สภาวะควบคุมอุณหภูมิภายนอกคงที่ ตลอดเวลา	34
แผนภูมิที่ 5	แสดงการเปรียบเทียบอุณหภูมิภายในกล่องทดลองระหว่างก่ออิฐ ฉาบปูน 8" กับโพเมหนา 8 มม. ทาสีดำ	37
แผนภูมิที่ 6	แสดงการเปรียบเทียบอุณหภูมิภายในกล่องทดลองระหว่างก่ออิฐ ฉาบปูน 8" กับโพเมหนา 8 มม. ทาสีขาว	39
แผนภูมิที่ 7	แสดงการเปรียบเทียบอุณหภูมิภายในกล่องทดลองระหว่างก่ออิฐ ฉาบปูน 4" กับโพเมหนา 4 มม. ทาสีดำ	41
แผนภูมิที่ 8	แสดงการเปรียบเทียบอุณหภูมิภายในกล่องทดลองระหว่างก่ออิฐ ฉาบปูน 4" กับโพเมหนา 4 มม. ทาสีขาว	43
แผนภูมิที่ 9	แสดงการเปรียบเทียบผังก่ออิฐฉาบปูน 8" กับผังโพเม 8 มม. ทาสีดำและสีขาว	45
แผนภูมิที่ 10	แสดงการเปรียบเทียบผังก่ออิฐฉาบปูน 4" กับผังโพเม 4 มม. ทาสีดำและสีขาว	46
แผนภูมิที่ 11	แสดงการเปรียบเทียบผังก่ออิฐฉาบปูน 8", 4" กับผังโพเม 8 มม., 4 มม. ทาสีดำและสีขาว	47
แผนภูมิที่ 12	แสดงการเปรียบเทียบผังก่ออิฐฉาบปูน 8" ทาสีดำและสีขาว	49
แผนภูมิที่ 13	แสดงการเปรียบเทียบผังก่ออิฐฉาบปูน 4" ทาสีดำและสีขาว	50
แผนภูมิที่ 14	แสดงการเปรียบเทียบผังโพเมหนา 8 มม. ทาสีดำและสีขาว	51
แผนภูมิที่ 15	แสดงการเปรียบเทียบผังโพเมหนา 4 มม. ทาสีดำและสีขาว	52
แผนภูมิที่ 16	แสดงการเปรียบเทียบผังก่ออิฐฉาบปูน 8" กับผังก่ออิฐฉาบปูน 4" ทาสีดำ	53

สารบัญแผนภูมิประกอบ (ต่อ)

แผนภูมิที่ 17	แสดงการเปรียบเทียบผนังก่ออิฐถือปูน 8"	กับผนังก่ออิฐถือปูน 4" ท่าสีขาว	54
แผนภูมิที่ 18	แสดงการเปรียบเทียบผนังโฟม 8 มม. กับ ผนังโฟม 4 มม. ท่าสีดำ		55
แผนภูมิที่ 19	แสดงการเปรียบเทียบผนังโฟม 8 มม. กับ ผนังโฟม 4 มม. ท่าสีขาว		56
แผนภูมิที่ 20	แสดงการเปรียบเทียบผนังก่ออิฐถือปูน 8" กับผนังก่ออิฐถือปูน 4" ท่าสีดำและท่าสีขาว		57
แผนภูมิที่ 21	แสดงการเปรียบเทียบผนังโฟม 8 มม. กับผนังโฟม 4 มม. ท่าสีดำและท่าสีขาว		58
แผนภูมิที่ 22	แสดงการทดสอบผนังโฟมเพิ่มความหนา (ค่า "U" น้อยลง) ท่าสีดำ		62
แผนภูมิที่ 23	แสดงการทดสอบผนังโฟมเพิ่มความหนา (ค่า "U" น้อยลง) ท่าสีขาว		63
แผนภูมิที่ 24	แสดงการทดสอบผนังโฟม 6 มม. สีดำและท่าสีขาว		64
แผนภูมิที่ 25	แสดงการทดสอบผนังโฟม 12 มม. ท่าสีดำและท่าสีขาว		65
แผนภูมิที่ 26	แสดงการทดสอบผนังโฟม 25 มม. ท่าสีดำและท่าสีขาว		66
แผนภูมิที่ 27	แสดงการทดสอบผนังโฟม 50 มม. ท่าสีดำและท่าสีขาว		67
แผนภูมิที่ 28	แสดงการเปรียบเทียบผนังโฟมเพิ่มความหนา (ค่า "U" น้อยลง) ท่าสีดำและท่าสีขาว		68
แผนภูมิที่ 29	แสดงการสะสมความร้อนของผนังทดสอบ		71
แผนภูมิที่ 30	แสดงการสูญเสียความร้อนของผนังทดสอบ		71
แผนภูมิที่ 31	แสดงค่าอุณหภูมิสูงสุดใน 1 วัน (Peak Temperature)		72
แผนภูมิที่ 32	แสดงช่วงเวลาที่อุณหภูมิภายในของผนังก่ออิฐถูกกว่าอุณหภูมิอากาศภายนอก		73
แผนภูมิที่ 33	แสดงช่วงเวลาที่อุณหภูมิภายในของผนังโฟมสูงกว่าอุณหภูมิอากาศภายนอก		73
แผนภูมิที่ 34	แสดงช่วงเวลาที่อุณหภูมิภายในของผนังก่ออิฐถูกกว่าอุณหภูมิ 27 C		74
แผนภูมิที่ 35	แสดงช่วงเวลาที่อุณหภูมิภายในของผนังโฟมสูงกว่าอุณหภูมิ 27 C		74
แผนภูมิที่ 36	แสดงค่าแตกต่างของอุณหภูมิใน 1 วัน (Temperature Swing) ของผนังก่ออิฐ 8" และ ก่ออิฐ 4"		75

สารบัญแผนภูมิประกอบ (ต่อ)

	หน้า
แผนภูมิที่ 37 แสดงค่าแตกต่างของอุณหภูมิใน 1 วัน (Temperature Swing)	75
ของผนังก่ออิฐ 8", 4" และ ผนังปูฟ 8 มม., 4 ม	
แผนภูมิที่ 38 แสดงผลการทดสอบอิทธิพลของลีเช็ม, อ่อนต่อการถ่ายเทความร้อน	77
ผ่านผนังทดสอบที่มีค่าการถ่ายเทความร้อนเท่ากัน ภายใต้ท้องปรับ	
อากาศและให้ความร้อนมากในกล่องด้วยหลอดไฟขนาด 40 วัตต์	
เท่ากันทุกกล่อง	
แผนภูมิที่ 39 แสดงค่าอุณหภูมิสูงสุดใน 1 วัน (Peak Temperature)	78
ของสุดชนิดเดียวกัน เปรียบเทียบระหว่างลีเช็มและลีอ่อน	
แผนภูมิที่ 40 แสดงค่าเฉลี่ยของอุณหภูมิใน 1 วัน ที่ศีtie	79
แผนภูมิที่ 41 แสดงค่าความแตกต่างระหว่างอุณหภูมิสูงสุดและต่ำสุด	
(Temperature Swing) ของผนัง	79